

روش مرز غوطه‌ور- شبکه بولتزمن برای شبیه‌سازی حرکت ذره در سیالات غیرنیوتنی*

امین امیری دلوئی^(۱)محمد حسن کیهانی^(۲)محسن نظری^(۳)

چکیده در مطالعه حاضر روش ترکیبی مرز غوطه‌ور- شبکه بولتزمن غیرنیوتنی برای شبیه‌سازی نیروهای وارد بر ذره و هم‌چنین محاسبه سرعت حرکت ذره در مجاورت سیالات غیرنیوتنی مختلف، توسعه داده شده است. در این تحقیق، اثرات نیروی اضافی ناشی از وجود جرم شتابدار نیز در معادلات حرکت غیرنیوتنی ذره لحاظ شده‌اند. دو مسئله کاربردی شامل جریان سیال غیرنیوتنی توانی از روی سیلندر ثابت با سطح مقطع مربعی و سقوط یک ذره مربعی در سیالات غیرنیوتنی با خواص مختلف رقیق‌برشی و ضخیم‌برشی بررسی شده است. نتایج نشان می‌دهند که نیروی وارد بر سیلندر در حالت ثابت و سرعت حد ذره در حال سقوط با افزایش شاخص رفتار غیرنیوتنی توانی به ترتیب افزایش و کاهش قابل ملاحظه‌ای را تجربه خواهند نمود.

واژه‌های کلیدی روش مرز غوطه‌ور؛ روش شبکه بولتزمن؛ شبیه‌سازی عددی مستقیم؛ سیال غیرنیوتنی توانی؛ سطح مقطع مربعی.

Simulation of Particle Motion in Non-Newtonian Fluids by Immersed Boundary Lattice Boltzmann Method

A. Amiri Delouei M.H. Kayhani M. Nazari

Abstract In the current study, the immersed boundary – non-Newtonian lattice Boltzmann method is developed for simulation of forces act on a particle and also for computation of the particle velocity in vicinity of non-Newtonian fluids. In this research, the effect of extra force due to accelerated mass is also considered in non-Newtonian particle motion equations. Two applied problems of power-law non-Newtonian fluid flow over a stationary cylinder with square cross-section and a square falling particle in non-Newtonian fluids with different shear-thinning and shear-thickening behaviour are investigated. Results indicate that the force act on stationary cylinder and ultimate velocity of falling particle will experience considerable increase and decrease with growth of power-law non-Newtonian behaviour index, respectively.

Key Words Immersed boundary method; Lattice Boltzmann method; Direct numerical simulation; Power-law non-Newtonian fluids; Square cross-section.

* تاریخ دریافت مقاله ۹۴/۲/۳۰ و تاریخ پذیرش آن ۹۴/۷/۱۴ می‌باشد. DOI: 10.22067/fum-mech.v28i1.46922

(۱) نویسنده مسئول: استادیار، دانشکده مهندسی مکانیک، دانشگاه بجنورد. a.amiri@ub.ac.ir

(۲) استاد، دانشکده مهندسی مکانیک، دانشگاه شاهرود.

(۳) دانشیار، دانشکده مهندسی مکانیک، دانشگاه شاهرود.

مقدمه

جریان‌های ذره‌ای کاربردهای گسترده‌ای در صنایع مختلف و تحقیقات علمی نظیر مهندسی شیمی (مانند بستریهای سیال در راکتورهای شیمیایی و شکافت هیدرولیکی مخازن)، بیولوژی (مانند گرفتگی رگ‌ها و حرکت گلبول‌های قرمز در شریان‌ها و وریدها)، زمین‌شناسی و علوم مرتبط با محیط زیست (مانند طوفان‌های شنی، حرکت ذرات معلق در بستر رودخانه‌ها) و غیره دارد. اهمیت و کاربرد گسترده این نوع جریان‌ها منجر به تحقیقات گسترده آزمایشگاهی و عددی در زمینه اثرات متقابل ذره و سیال گردیده است [1]. اگرچه کارهای زیادی در زمینه جریان‌های ذره‌ای در سیالات نیوتنی انجام شده است اما تحقیقات انجام‌شده برای سیالات غیرنیوتنی بسیار کمتر مورد توجه قرار گرفته‌اند. این در حالی است که بسیاری از جریان‌های ذره‌ای نظیر حرکت ذره صلب درون محلول‌های پلیمری و یا مذاب‌ها، حرکت ذرات درون سیالات بیولوژیک بایستی با در نظر گرفتن بحث سیالات غیرنیوتنی مورد مطالعه قرار گیرند. آنچه که ضرورت بررسی جریان‌های غیرنیوتنی ذره‌ای را بیشتر نمایان می‌کند، پیچیدگی‌های بسیاری است که در حرکت ذره درون سیال غیرنیوتنی وجود دارد و رفتار آن را تا حدود زیادی متمایز از حرکت متناظرش در سیال نیوتنی می‌نماید [2]. شایان ذکر است که اکثر کارهای انجام شده در مورد حرکت ذره چه در سیال نیوتنی و چه در سیال غیرنیوتنی در هندسه دایروی بوده است. این در حالی است که در کاربردهای واقعی، هندسه‌های غیر دایروی نیز سهم بسزایی را به خود اختصاص داده‌اند که ضرورت پرداختن به حرکت ذرات با هندسه‌های متفاوت نظیر ذرات مربعی را آشکار می‌سازد. در مورد حل جریان‌های ذره‌ای تا کنون سه رویکرد مختلف ارائه شده است [3]:

۱) مدل پیوسته (The continuum model)،
 ۲) مدل ذره‌ای گسسته‌ای (Discrete particle model)
 ۳) مدل شبیه‌سازی عددی مستقیم (The direct numerical solution). در روش اول هم فاز سیال و هم فاز جامد به صورت یک مدل پیوسته در نظر گرفته می‌شوند که البته نیازمند مشخص بودن ضریب پسا و ویسکوزیته ظاهری فاز جامد می‌باشد. در روش دوم، معادلات حرکت لاگرانژی به صورت جداگانه برای محاسبه سرعت و مکان فاز جامد به کار می‌رود. در این روش، اثر وجود ذرات متحرک از طریق اضافه نمودن عبارات نیرویی به معادلات پیوستگی و مومنتوم به میدان سیال منتقل می‌شود. در روش سوم، میدان سیال توسط معادلات ناویر استوکس مشخص می‌شود در حالی که حرکت جسم جامد به صورت هم‌زمان و با استفاده از مسئله مقدار اولیه بررسی می‌شود [4]. در خصوص جریان‌های ذره‌ای غیرنیوتنی، روش عددی مستقیم می‌تواند به عنوان بهترین گزینه مطرح باشد زیرا این توانایی شبیه‌سازی تمامی اثرات غیرخطی ایجادشده به دلیل وجود جسم جامد در سیال غیرنیوتنی را دارد. روش شبیه‌سازی عددی مستقیم می‌تواند به آسانی اثرات پارامترهایی نظیر اینرسی، رقیق‌شوندگی و یا الاستیسیته را به صورت جزء به جزء بررسی نماید که منجر به فهم بهتر مکانیزم حرکت ذرات داخل سیال نیوتنی و غیرنیوتنی خواهد گردید [5]. شبیه‌سازی مستقیم جریان‌های ذره‌ای ابتدا توسط هو و همکاران [6] انجام گرفت و پس از آن پیشرفت‌های قابل توجهی در این خصوص انجام شده است.

مسئله شبیه‌سازی مستقیم جریان‌های ذره‌ای می‌تواند به دو زیرمجموعه تقسیم گردد [7]: ۱) رویکرد شبکه متحرک (The moving mesh approach) که در آن شبکه مش بندی شده منطبق با جسم با حرکت ذره بازسازی می‌شود و ۲) رویکرد شبکه ثابت (The fixed mesh approach) که در آن مش محاسباتی بدون حرکت باقی می‌ماند. کاملاً واضح

استفاده از شیوه المان محدود چند شبکه‌ای حل شده است. آنها بیان داشته‌اند که روش آنها مستقل از شکل، اندازه و تعداد ذرات است.

اخیراً بعضی روش‌های جدید بر پایه ایده مرز غوطه‌ور پسکین [12] گسترش یافته‌اند، که به‌طرز موفق‌تری برای جریان‌های ذره‌ای عمل می‌نمایند. روش مرز غوطه‌ور (Immersed boundary method) می‌تواند به‌عنوان ساده‌ترین روش در گروه رویکردهای مش ثابت در نظر گرفته شود. این روش ابتدا برای شبیه‌سازی حرکت ماهیچه‌های قلب و جریان خون ناشی از آن معرفی گردید و پس از آن به کاربردهای مختلفی از جمله جریان‌های ذره‌ای گسترش یافت. در حالت کلی، روش مرز غوطه‌ور می‌تواند به‌عنوان یک روش غیرمنطبق بر جسم معرفی شود که شرط مرزی عدم لغزش را با اعمال یک عبارت چگالی نیرویی (Force density) به معادلات حاکم سیال ارضا می‌کند. از نقطه نظر عددی، میدان سیال در این روش به‌صورت یک شبکه اویلری ثابت در نظر گرفته می‌شود که تمام دامنه حل شامل داخل و خارج ذرات را در بر می‌گیرد و از طرفی دیگر ذرات توسط گره‌های لاگرانژی جداگانه ردیابی می‌شوند. نقاط لاگرانژی روی مرز جسم غوطه‌ور قرار دارند و جرمی معادل جرم کل جسم غوطه‌ور را دارا می‌باشند. میدان جریان اویلری در روش مرز غوطه‌ور می‌تواند با حل معادلات ناویر استوکس با استفاده از روش‌های متداول محاسبات عددی مانند روش تفاضل محدود و یا روش حجم محدود حل شود و یا تکنیک‌های عددی جایگزین مانند روش شبکه بولتزمن (Lattice Boltzmann method) را استفاده نماید.

روش شبکه بولتزمن خصوصیات منحصربه‌فردی مانند سادگی، قابلیت موازی سازی، عملگرهای ساده جبری و سرعت بالا را داراست که آن را از سایر روش‌های متداول محاسباتی متمایز می‌نماید. مفاهیم بنیادی این روش و کاربردهای آن برای دینامیک

است که شیوه اول بسیار زمان‌بر است زیرا در هر گام زمانی، یک مش جدید منطبق بر تمامی مرزهای موجود در مسئله بایستی ایجاد گردد. دو مورد از متداول‌ترین روش‌های منطبق بر رویکرد اول و دوم به ترتیب روش اویلری-لاگرانژی قراردادی (Arbitrary Langrangian Eulerian method) [8] و روش دامنه مجازی (Fictitious domain method) است [9-11]. هو [8] یک روش عددی بر پایه تکنیک المان محدود گالرکین و روش اویلری-لاگرانژی قراردادی برای شبیه‌سازی حرکت ذرات جامد در داخل جریان سیال نیوتنی ارائه داده است. این روش بر پایه شبکه‌های غیرساختاریافته متحرکی استوار است که در هر گام زمانی بر پایه سرعت محاسبه شده مش به‌روز می‌شوند. اما اگر هرگونه نقصی در یکی از المان‌های شبکه مشاهده شود، بایستی از ابتدا عمل مش‌بندی انجام شود که هیچ‌گونه وابستگی به مش قدیمی‌تر ندارد و البته میدان سیال نیز بایستی با این مش جدید دوباره تطابق داده شود. کاملاً واضح است که این مراحل بسیار وقت‌گیر است. پاتانکار و همکاران [9] یک الگوریتم جدید بر پایه روش دامنه مجازی برای جریان ذره‌ای داخل سیال نیوتنی ارائه داده‌اند. در روش عددی ارائه شده توسط آنها، تانسور نرخ کرنش در گره‌های سیالی که در داخل دامنه جامد قرار دارند مساوی صفر فرض شده‌اند. این فرمولاسیون جدید حتی برای حالتی که جرم سیال و جرم جامد برابر باشند، مناسب است. یک روش دامنه مجازی توسط گلووانسکی و همکاران [10] معرفی شده است که می‌تواند جریان‌های غیرقابل تراکم نیوتنی گذرنده از روی اجسام جامد متحرک را شبیه‌سازی کند. آنها نشان دادند که روش آنها اجازه مدل‌سازی مستقیم پدیده‌های پیچیده مرتبط با جریان ذره‌ای را دارد. یک روش مرز مجازی چندشبکه‌ای برای شبیه‌سازی مستقیم جریان‌های ذره‌ای در حالت دوبعدی توسط ون و تورک [11] ارائه شده است. در روش آنها جریان با

آن داشت تا مجموع این دو روش را به عنوان یک روش ترکیبی و کارآمد معرفی نمایند. فنگ و میخائیلدز [1]، اولین محققانی بودند که روش مرز غوطه‌ور- شبکه بولتزمن (IB-LBM) را معرفی نمودند. در روش آن‌ها وجود مرز غوطه‌ور از طریق روش پنالتی (Penalty method) اعمال می‌شد که مرزهای صلب را به صورت انعطاف‌پذیر با ثابت سختی بالا در نظر می‌گرفت. هم‌چنین آن‌ها یک مطالعه مقایسه‌ای با روش‌های شبکه بولتزمن متداول انجام دادند. آن‌ها نشان دادند که IB-LBM معرفی شده نوسانات نیرویی را که در روش‌های متداول LBM معمول بود از خود بروز نمی‌دهد.

در مورد شبیه‌سازی جریان‌های ذره‌ای، الگوریتم محاسبه نیروی مرزی بسیار تأثیرگذار است، زیرا این نیرو نقش مهمی در محاسبات مربوط به معادلات حرکت ذره ایفا می‌کند. تاکون، سه الگوریتم متفاوت در قالب روش IB-LBM برای این منظور استفاده شده است: (۱) روش اعمال نیروی فیدبک (Feed-back forcing method) [1]، (۲) روش اعمال نیروی مستقیم (Direct-forcing method) [2,3] و (۳) روش تبادل مومنتوم (Momentum exchange method) [18]. در روش اول، از پروسه‌های فیدبک براساس مکان (و/یا سرعت) نقاط روی مرز برای تعیین چگالی نیروی مرزی استفاده می‌شود [1]. روش اعمال نیروی مستقیم ابتدا توسط موحد یوسف [19] برای شبیه‌سازی مرزهای پیچیده ثابت ارائه شد. فنگ و میخائیلدز [3] یک روش IB-LBM با اعمال نیروی مستقیم برای شبیه‌سازی جریان‌های ذره‌ای ارائه دادند. با استفاده از این روش جدید، دیگر نیازی به تعیین پارامترهای آزاد مانند ضریب سختی در روش پنالتی وجود ندارد. نیو و همکاران [18] یک روش IB-LBM براساس اصل تبادل مومنتوم برای شبیه‌سازی جریان‌های لزج ارائه داده‌اند. در روش آن‌ها، عبارت نیرویی براساس اصل تبادل

سیالات محاسباتی توسط سوشی [13] ارائه گردیده است. روش شبکه بولتزمن پیشرفت‌های زیادی در زمینه شبیه‌سازی جریان‌های سیال نیوتنی در سال‌های اخیر داشته است. برخلاف سیالات نیوتنی، ویسکوزیته سیالات غیرنیوتنی تابعی از تنش برشی است که می‌تواند منجر به بروز ناپایداری در روند حل گردد [14]. از آنجایی که روش شبکه بولتزمن براساس تئوری انرژی جنبشی استوار است، قادر است که نرخ برش محلی را با دقت مرتبه ۲ (به صورت مستقل از میدان سرعت ماکروسکوپی) محاسبه نماید [15]. این ویژگی به پایداری بیشتر حل جریان‌های ذره‌ای در سیالات غیرنیوتنی کمک شایانی می‌کند. اوهارنو و رتمن [16] توانایی روش شبکه بولتزمن در حل جریان‌های غیرنیوتنی توانی را برای اولین بار نشان دادند. لُد [17] اولین کسی بود که روش شبکه بولتزمن را برای بررسی جریان‌های ذره‌ای در محلول‌ها به کار برد. از آن به بعد مطالعات زیادی درخصوص شبیه‌سازی جریان‌های ذره‌ای با روش شبکه بولتزمن ارائه شده است. در این روش، برهم‌کنش بین سیال و جامد از طریق قانونی موسوم به «بازگشت به عقب» (Bounce-back) انجام می‌شود [17]. در این روش گره‌های مرزی از طریق مجموعه‌ای از گره‌های میانی نشان داده می‌شود، که بایستی بین گره‌های سیال و جامد قرار داشته باشند. اگرچه روش LBM مشکل پروسه مش مجدد را که در روش‌های معمول محاسباتی وجود دارد حل کرده است، اما هنوز از مشکلات دیگری نظیر نوسانات نیروی محاسبه‌شده در سطح ذره، نیاز به تعداد زیاد نقاط مرزی برای نمایش مرزهای فیزیکی دقیق، الگوریتم قدم‌به‌قدم و محدودیت عدد رینولدز پایین رنج می‌برد [1,3]. در واقع می‌توان گفت، شبیه‌سازی شبکه بولتزمن برای جریان‌های ذره‌ای بسیار شبیه به روش‌های مش متحرک است [7]. خصوصیت مشترک «شبکه کارترین ثابت» برای دو روش شبکه بولتزمن و مرز غوطه‌ور محققان را بر

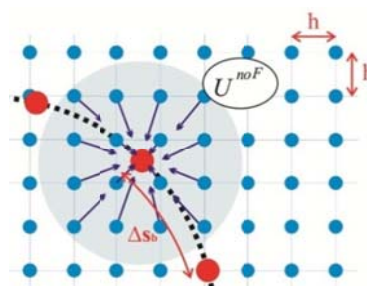
مومتوم برای توابع توزیع احتمال چگالی در نقاط مرزی میان‌یابی شده، محاسبه می‌شود. اگرچه که آنها از روش LBM با زمان آسایش چندگانه استفاده کردند، اما دقت روش تغییر چندانی نکرده است. هم‌چنین در این روش، چگالی نقاط مرزی لاگرانژی حتماً بایستی بیشتر از نقاط اویلری روی شبکه کارترین باشد تا از نشئی جلوگیری شود.

عمده الگوریتم دیفیوز و شارپ در محل گره‌های اعمال نیرو است. در الگوریتم شارپ، نقاط مورد استفاده برای اعمال نیرو در گره‌های اویلری محاسباتی قرار دارند درحالی‌که الگوریتم واسط دیفیوز نقاط لاگرانژی را برای محاسبه چگالی نیرویی استفاده می‌کند. کنگ [22] مطالعه کاملی درخصوص الگوریتم‌های شارپ و دیفیوز و مقایسه بین آنها انجام داده است. او گزارش داده است که هم الگوریتم شارپ و هم الگوریتم دیفیوز می‌توانند برای شبیه‌سازی مرزهای متحرک به کار روند اما الگوریتم میان‌یابی شارپ نوسانات نادرست در نیروی مرزی تولید می‌کند. کنگ [22] پیشنهاد می‌کند که الگوریتم شارپ بیشتر برای شبیه‌سازی مرزهای ثابت پیچیده و یا مسائل مرز متحرک با سرعت کم استفاده شود.

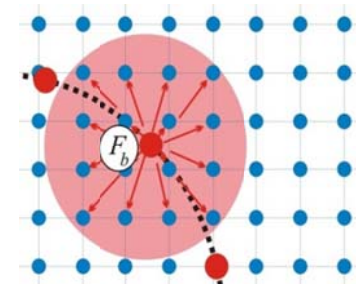
تاکنون چند مطالعه با رویکرد شبیه‌سازی عددی مستقیم برای جریان‌های ذره‌ای در سیالات غیرنیوتنی انجام شده است که محدود به روش اویلری لاگرانژی قراردادی [23] و روش دامنه مجازی [24] هستند. امیری دلویی و همکاران [21] از روش مرز غوطه‌ور- شبکه بولتزمن برای مدل‌سازی جریان از روی موانع ثابت دایروی استفاده کرده‌اند.

هدف اصلی این مطالعه، توسعه روش مرز غوطه‌ور- شبکه بولتزمن غیرنیوتنی (IB-NLBM) با اعمال نیروی مستقیم برای شبیه‌سازی حرکت مرزهای متحرک در سیالات غیرنیوتنی رقیق‌برشی و ضخیم‌برشی است. از آنجایی‌که اکثر کارهای مشابه قبلی منحصر به حرکت ذرات با سطح مقطع دایروی بوده‌اند، در مطالعه حاضر به بررسی حرکت ذرات مربعی نیز پرداخته شده است. در این تحقیق حرکت ذرات نتیجه برهم کنش بین جامد و سیال، نیروهای حجمی مانند نیروی وزن و هم‌چنین نیروی اضافی ناشی از شتاب ذره است. روش ارائه شده در این

شکل ۱ الف) انتقال سرعت از گره‌های اویلری به نقاط لاگرانژی و ب) توزیع چگالی نیروی مرزی از نقاط لاگرانژی به گره‌های اویلری، ناحیه سایه‌زده شده محدوده‌ای از گره‌های اویلری را نشان می‌دهد که تحت تأثیر یک گره لاگرانژی قرار گرفته است



(الف)



(ب)

همان‌گونه که در شکل (۱) مشاهده می‌شود، به دلیل عدم تطابق نقاط مرزی (لاگرانژی) و گره‌های محاسباتی سیال (اویلری) یک الگوریتم واسط بایستی تعریف شود تا ارتباط بین گره‌های مرزی و سیال را فراهم کند. در مورد IB-LBM با اعمال نیروی مستقیم، الگوریتم‌های واسطی که تاکنون استفاده شده است را در دو گروه می‌توان تقسیم‌بندی کرد.

(۱) الگوریتم واسط شارپ (sharp interface)

اثرات متفاوت خواص غیرنیوتنی رقیق‌برشی و ضخیم‌برشی بر نیروهای وارد بر ذرات غوطه‌ور بررسی گردد. همچنین مسئله سقوط یک ذره مربعی در سیال غیرنیوتنی مورد بحث و بررسی قرار گرفته است و نحوه تغییر سرعت این ذرات نسبت به خواص غیرنیوتنی سیال به تفصیل بحث شده است.

روش عددی

روش مرز غوطه‌ور - شبکه بولتزمن غیر نیوتنی با اعمال نیروی مستقیم. معادله شبکه بولتزمن برای میدان سرعت شامل یک عبارت نیرویی خارجی ناپایا و غیریکنواخت (به دلیل وجود مرز جامد) در بعد زمان (t) و مکان (\bar{x}) به صورت زیر گسسته‌سازی می‌شود [25]:

$$f_i(\bar{x} + \bar{e}_i \Delta t, t + \Delta t) = f_i(\bar{x}, t) - \frac{1}{\tau} [f_i(\bar{x}, t) - f_i^{(eq)}(\bar{x}, t)] + F_i(\bar{x}, t) \Delta t, \quad (1-1)$$

$$f_i^{(eq)} = w_i \rho \left[1 + \frac{3}{c^2} (\bar{e}_i \cdot \bar{u}) + \frac{9}{2c^4} (\bar{e}_i \cdot \bar{u})^2 - \frac{3}{2c^2} \bar{u}^2 \right] \quad (2-1)$$

$$F_i(\bar{x}, t) = \left(1 - \frac{1}{2\tau} \right) w_i \times \left[3 \frac{\bar{e}_i - \bar{u}(\bar{x}, t)}{c^2} + 9 \frac{\bar{e}_i \bar{u}(\bar{x}, t)}{c^4} - \bar{e}_i \right] \cdot \bar{F}(\bar{x}, t), \quad (3-1)$$

$$\rho \bar{u} = \sum_i \bar{e}_i f_i + \frac{\Delta t}{2} \bar{F} \quad (4-1)$$

که \bar{e}_i بردار سرعت ذره در جهت i ام سرعت شبکه است. در کار حاضر از مدل شبکه بولتزمن دوبعدی با نه جهت سرعت مستقل (D2Q9) استفاده شده است. $f_i(\bar{x}, t)$ و $F_i(\bar{x}, t)$ به ترتیب توزیع چگالی ذره و تابع توزیع گسسته نیروی خارجی در جهت i ام است. زمان

تحقیق شامل موارد زیر است:

(۱) روش مرز غوطه‌ور با اعمال نیروی مستقیم که یک روش اویلری-لاگرانژی با شبکه غیرمنطبق بر جسم است. این روش قادر است اثرات غیرخطی ناشی از حضور ذرات در سیال غیرنیوتنی را تعیین کند و یک درک مستقیم از مکانیک محلول‌های غیرنیوتنی ارائه دهد.

(۲) روش شبکه بولتزمن که بر پایه تئوری انرژی جنبشی گازها استوار است و قادر است نرخ برش محلی را با دقت مرتبه دو برای سیالات غیرنیوتنی (با ویسکوزیته متغیر) محاسبه نماید.

(۳) مدل توانی (power-law model) که معمول‌ترین مدل غیرنیوتنی مورد استفاده است و می‌تواند به طرز قابل قبولی خواص رقیق‌برشی و ضخیم‌برشی را در محدوده متوسطی از نرخ‌های برش محاسبه نماید. (۴)

الگوریتم واسط چهار نقطه‌ای که یک روش میان‌یابی مناسب برای ارتباط مناسب بین نقاط متحرک لاگرانژی و گره‌های ثابت اویلری است بدون این‌که مشکل ناپایداری و یا نوسانات نادرست ایجاد شود (شکل ۱).

(۵) الگوریتم اعمال نیروی چندمرحله‌ای که قابلیت بازیابی معادلات ناویر استوکس را با دقت مرتبه دو داراست [25].

(۶) معادلات حرکت ذره که اثرات نیروی اضافه شده ناشی از وجود جرم شتاب‌دار را نیز لحاظ می‌کند.

در مطالعه حاضر، تمام روش‌های ذکر شده در بالا با یکدیگر ترکیب شده‌اند تا یک حل عددی مستقیم برای شبیه‌سازی جریان سیال غیرنیوتنی ذره‌ای به دست آید که تمام خواص لیست شده در بالا را دارا باشد. برای صحت‌سنجی کار حاضر یک روش گام‌به‌گام شامل جریان سیال غیرنیوتنی در کانال، جریان سیال نیوتنی از روی مانع با سطح مقطع مربعی و سقوط ذره دایره‌ای در سیال نیوتنی استفاده شده است. در ادامه مسئله جریان سیال غیرنیوتنی نامحدود از روی سیلندر ثابت با سطح مقطع مربعی شبیه‌سازی شده است، تا

مدل توانی یکی از معمول‌ترین مدل‌های غیرنیوتنی است که برای بیان رفتار سیالات غیرنیوتنی استفاده می‌شود. در این مدل غیرنیوتنی رابطه بین ویسکوزیته و نرخ کرنش برشی به صورت زیر است [27]:

$$\nu = m |\dot{\gamma}|^{n-1}, \quad (5)$$

که m و n به ترتیب شاخص سازگاری و شاخص رفتار غیرنیوتنی هستند. ویسکوزیته سیال با افزایش شاخص m زیاد می‌شود. هنگامی که $n < 1$ است، ویسکوزیته سیال با افزایش نرخ برش کاهش خواهد یافت. سیالاتی با چنین رفتاری را به عنوان سیالات شبه پلاستیک یا رقیق برشی معرفی می‌کنند. از سویی دیگر هنگامی که $n > 1$ است، ویسکوزیته با افزایش نرخ کرنش زیاد خواهد شد که چنین سیالاتی به سیالات دیلاتنت یا ضخیم برشی معروف هستند. در حالت خاص $n=1$ و $m=\mu_0$ ، سیال رفتاری نیوتنی خواهد داشت. در مورد سیالاتی با ویسکوزیته وابسته به نرخ برش، τ می‌تواند از ثابت دوم تانسور نرخ کرنش به دست آید:

$$\dot{\gamma} = 2\sqrt{D_{II}} \quad (6)$$

که

$$D_{II} = \sum_{\alpha,\beta=1}^2 S_{\alpha\beta} S_{\alpha\beta}, \quad (7)$$

مقادیر برش در هر نقطه بایستی محاسبه گردد. تانسور نرخ کرنش در حضور نیروی خارجی می‌تواند به صورت ماکروسکوپی (معادله ۸-۱) [28] و یا مزوسکوپی (معادله ۸-۲) به دست آید:

$$S_{\alpha\beta} = \frac{1}{2} (\nabla_{\beta} u_{\alpha} + \nabla_{\alpha} u_{\beta}). \quad (1-8)$$

آسایش بی بعد (τ)، نرخ را نشان می‌دهد که توزیع چگالی ذره به حالت تعادل محلی $f_i^{(eq)}$ می‌رسد. $\rho \bar{u}$ چگالی مومنتوم سیال را نشان می‌دهد. سرعت‌های ذره محلی به صورت زیر معرفی می‌شود:

$$[\bar{e}_i] = c \begin{bmatrix} 1 & 0 & -1 & 0 & 1 & -1 & -1 & 1 & 0 \\ 0 & 1 & 0 & -1 & 1 & 1 & -1 & -1 & 0 \end{bmatrix} \quad (2)$$

که c سرعت شبکه است. ضرایب وزنی نیز به صورت $w_1 = w_2 = w_3 = w_4 = 1/9$ ، $w_0 = 4/9$ و $w_5 = w_6 = w_7 = w_8 = 1/36$ تعریف می‌شود. به منظور در نظر گرفتن اثرات هم‌زمان شبکه گسسته شده و عبارت نیرویی اضافه شده در معادله مومنتوم سیال از الگوریتم اعمال نیروی چندمرحله‌ای استفاده شده است. توضیحات کامل تر در این خصوص را می‌توان در مطالعه امیری دلویی و همکاران [21] مشاهده نمود. با استفاده از بسط چاپمن-اینسکاک مرتبه اول، ویسکوزیته دینامیکی به صورت زیر محاسبه می‌شود:

$$\nu = (2\tau - 1)/6 \quad (3)$$

ویسکوزیته شبکه نقشی مستقیم روی گام زمانی حل (Δt_{phy}) بازی می‌کند:

$$\Delta t_{phy} = \left(\Delta x_{phy} \right)^2 \frac{\nu}{\nu_{phys}} \quad (4)$$

که Δx_{phy} و ν_{phy} به ترتیب اندازه شبکه و ویسکوزیته دینامیکی (در مقیاس فیزیکی واقعی) می‌باشند.

در سیالات نیوتنی ویسکوزیته در تمامی نرخ برش‌ها عددی ثابت است در حالی که سیالات غیرنیوتنی از یک رابطه غیرخطی بین تنش برشی و نرخ کرنش برشی، مخصوصاً در نرخ برش پایین، پیروی می‌کنند.

شبهه سازی های دوبعدی، δ_h می تواند به صورت حاصل ضرب دو تابع تک متغیره (که با اندازه طولی شبکه h بی بعد شده اند) بیان شود.

$$\delta_h(\bar{x}) = 1/h^2 \phi(x_1/h) \times \phi(x_2/h). \quad (1-10)$$

که x_1 و x_2 مؤلفه های کارترین بردار مکان هستند. در کار حاضر از الگوریتم میان یابی چهار نقطه ای که توسط پسکین [29] پیشنهاد شده است بهره برده ایم:

$$\phi(r) = \begin{cases} 1/8(3-2|r| + \sqrt{1+4|r|-4r^2}), & 0 \leq |r| < 1, \\ 1/8(5-2|r| - \sqrt{-7+12|r|-4r^2}), & 1 \leq |r| < 2, \\ 0, & \text{Otherwise,} \end{cases} \quad (2-10)$$

همان گونه که در شکل (۱) نشان داده شده است، تنها تعداد محدودی از گره های اوپلری تحت تأثیر هر کدام از نقاط لاگرانژی قرار دارد. شایان ذکر است که در دو مرحله مورد استفاده قرار می گیرد؛ اولاً برای انتقال سرعت ها قبل از اعمال نیرو از گره های اوپلری به نقاط لاگرانژی،

$$\bar{u}_b^{noF} = \sum \bar{u}_b^{noF} \delta_h(\bar{x} - \bar{x}_b) h^2, \quad (1-11)$$

و محاسبه چگالی نیروی مرزی در نقاط لاگرانژی (معادله ۹) و ثانیاً برای توزیع چگالی نیروی مرزی به دست آمده از نقاط لاگرانژی به نقاط اوپلری مجاور،

$$\bar{F} = \sum \bar{F}_b \delta_h(\bar{x} - \bar{x}_b) \Delta s_b, \quad (2-11)$$

و استفاده در معادله (۱-۱۱) که سرعت های جدید بعد از اعمال نیرو را نشان می دهند. شایان ذکر است که متغیر u^{noF} در معادله (۱-۱۱)، نشانگر سرعت ها در گره های اوپلری است که در حالت عدم حضور ترم نیروی

$$S_{\alpha\beta} = -\frac{1}{\tau 2c_s^2 \rho \Delta t} \times \left(\sum_{i=0}^8 c_{i\alpha} c_{i\beta} f_i^{(neq)} + \frac{1}{2} (u_\alpha F_\beta + u_\beta F_\alpha) \Delta t \right) \quad (2-8)$$

معادله (۲-۸) از بسط چاپمن-اینسکاک قابل استخراج است. در این مطالعه، به منظور مطالعه اثرات حضور جسم غوطه ور روی دامنه سیال از روش اعمال نیروی مستقیم استفاده شده است. سرعت دل خواه بایستی شرایط عدم لغزش روی مرز را تأمین کند. با در نظر گرفتن این حقیقت و همچنین الگوریتم اعمال نیروی چند مرحله ای که برای حل میدان سرعت سیال استفاده شده است، فرمول مربوط به اعمال نیروی مستقیم به دست خواهد آمد [20]:

$$\bar{F}_b(\bar{x}_b, t + \Delta t) = 2\rho(\bar{x}_b, t + \Delta t) \frac{\bar{U}^d - \bar{u}_b^{noF}(\bar{x}_b, t + \Delta t)}{\Delta t} \quad (9)$$

که u^d و u_b^{noF} به ترتیب سرعت دل خواه جسم غوطه ور و سرعت قبل از اعمال نیرو در گره های لاگرانژی هستند. هم چنین \bar{x}_b مختصات مربوط به نقاط لاگرانژی روی مرز غوطه ور را نشان می دهد. با توجه به این که گره های اعمال نیرو روی گره های محاسباتی قرار دارند و لزوماً روی مرز جسم جامد نیستند، یک الگوریتم واسط برای به دست آوردن سرعت در گره های محاسباتی (با توجه به شرط عدم لغزش روی مرز جامد) مورد نیاز است. الگوریتم واسط می تواند با در نظر گرفتن توابع توزیع گسسته (δ_h) به دست آید. تابع توزیع گسسته با استفاده از تابع دلتای دیراک (ϕ) تعریف می شوند. پسکین [29] مطالعات کامل و جامعی در خصوص نحوه ساخت δ_h و اصول مشخصی که باید رعایت شود، ارائه داده است. مطابق با مطالعات پسکین [29]، در

به ترتیب نشانگر جامد و مایع می‌باشد. عبارت اولی در سمت راست معادله (۱۳) نشانگر نیروی است که از طرف مایع به جامد وارد می‌شود. این نیرو شامل (۱) نیرویی که بر سطح جسم ثابت وارد می‌شود و (۲) نیروی ناشی از جرم اضافه‌شده در اثر شتاب ذره است. بنابراین داریم [22]:

$$-\int_A \bar{\sigma} \cdot d\bar{A} = -\int_V \bar{F}_b dV + M_f \cdot \frac{d\bar{U}_c}{dt} \quad (14)$$

هم‌چنین معادله نیوتنی حرکت زاویه‌ای ذره به صورت زیر خواهد بود:

$$I_s \cdot \frac{d\bar{\Omega}_c}{dt} = -\int_V (\bar{x}_b - \bar{x}_c) \times \bar{F}_b dV + I_f \cdot \frac{d\bar{\Omega}_c}{dt} \quad (15)$$

که $\bar{\Omega}_c$ سرعت زاویه‌ای، $I_f = \mu_f \cdot R_s^2$ و \bar{x}_b ، \bar{x}_c بردارهای مکان مربوط به گره‌های لاگرانژی روی دیواره و مرکز ذره می‌باشد. معادلات (۱۵) و (۱۴) به صورت زیر گسسته‌سازی شده‌اند [22]:

$$\bar{U}_c^{n+1} = \bar{U}_c^n + \frac{1}{M_s} \left[-\sum_b \bar{F}_b^n \Delta V_b + (M_s - M_f) \bar{g} \right] \Delta t + \frac{M_f}{M_s} (\bar{U}_c^n - \bar{U}_c^{n-1}) \quad (16)$$

و

$$\bar{\Omega}_c^{n+1} = \bar{\Omega}_c^n + \frac{1}{I_s} \left[-\sum_b (\bar{x}_b - \bar{x}_c) \times \bar{F}_b^n \Delta V_b \right] \Delta t + \left(\frac{I_f}{I_s} \right) (\bar{\Omega}_c^n - \bar{\Omega}_c^{n-1}) \quad (17)$$

بنابراین مکان مرکز ذره در گام زمانی $n+1$ به صورت زیر قابل بیان خواهد بود:

$$x_c^{n+1} = x_c^n + \frac{1}{2} (\bar{U}_c^{n+1} + \bar{U}_c^n) \Delta t \quad (18)$$

هم‌چنین مؤلفه‌های سرعت روی نقاط لاگرانژی در

حجمی به دست آمده‌اند ($\bar{u}^{noF} = \frac{1}{\rho} \sum_i \bar{e}_i f_i$). قبل از پایان این قسمت بایستی بیان داشت که نیروی سطحی وارد بر مرز غوطه‌ور به راحتی توسط رابطه زیر قابل بیان است [20]:

$$\begin{aligned} \bar{F}_s &= -\sum \bar{F}_b(\bar{x}_b, t + \Delta t) \Delta s_b \\ &= \sum \bar{F}(\bar{x}, t + \Delta t) h^2, \end{aligned} \quad (12)$$

که Δs_b فاصله بین نقاط لاگرانژی واقع در روی منحنی مرز غوطه‌ور می‌باشد (به شکل ۱-الف مراجعه شود). در ضمن تفاوتی بین برآیند اولی و یا دومی در معادله (۱۲) وجود ندارد. بایستی توجه نمود که عبارت $\bar{F}(\bar{x}, t + \Delta t)$ روی تمامی نقاط اوپلری و عبارت $\bar{F}_b(\bar{x}_b, t + \Delta t)$ برای تمام نقاط لاگرانژی محاسبه می‌شوند.

معادلات حرکت ذره شتابدار. برخلاف روش‌های شبکه بولتزمن متداول برای شبیه‌سازی حرکت ذرات، در روش IB-LBM، ذره می‌تواند به صورت پیوسته درون دامنه محاسباتی حرکت کند بدون این که نگرانی درخصوص مکان گره‌های اوپلری متناظر وجود داشته باشد. در واقع، در روش IB-LBM ذره با یکسری گره‌های لاگرانژی که دارای وزنی معادل با کل جسم غوطه‌ور هستند، جای‌گزین می‌شود. برای شبیه‌سازی حرکت ذره، بایستی معادلات حرکت ذره مد نظر قرار گیرد. معادله نیوتنی حرکت ذره خطی به صورت زیر نوشته می‌شود [22]:

$$M_s \frac{d\bar{U}_c}{dt} = -\int_A \bar{\sigma} \cdot d\bar{A} + (\rho_s - \rho_f) V_s \bar{g} \quad (13)$$

که \bar{U}_c بردار سرعت مرکز جرم ذره می‌باشد. A ، M و V به ترتیب جرم، سطح، حجم و چگالی ذره را نشان می‌دهند. هم‌چنین زیرنویس‌های f و s

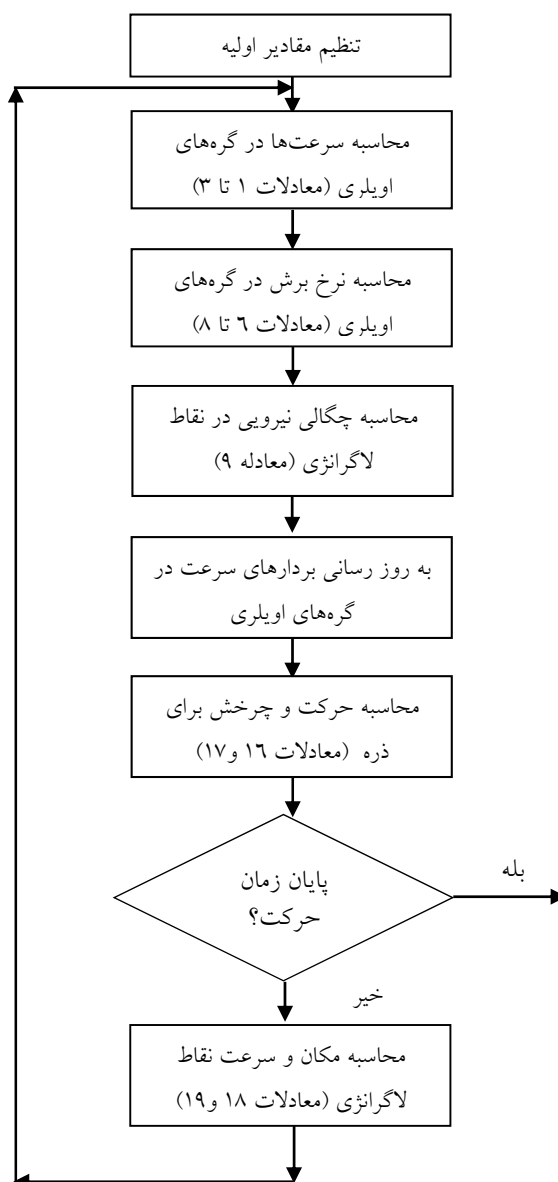
در گام زمانی بعد برای هر یک از گره‌های لاگرانژی محاسبه شود.

در پایان این بخش به‌طور خلاصه الگوریتم کلی روش IB-NLBM که در بخش‌های پیشین شرح داده شد در شکل (۲) نشان داده شده است.

نقاط اعمال نیروی \vec{x}_b ، در گام زمانی بعدی به‌صورت زیر خواهد بود:

$$\vec{u}_b^{n+1} = \vec{U}_c^{n+1} + \vec{\Omega}_c^{n+1} \times (\vec{x}_b - \vec{x}_c) \quad (19)$$

این سرعت‌های جدید در معادله اعمال نیروی مستقیم (معادله ۹) به‌کار خواهد رفت تا نیروی مرزی

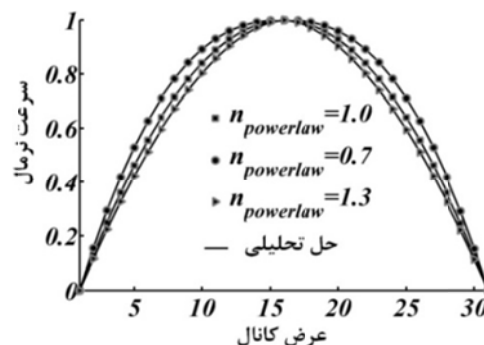


شکل ۲ الگوریتم روش IB-NLBM برای شبیه‌سازی حرکت ذره در سیال غیرنیوتنی

صحت‌سنجی

در این قسمت از یک فرآیند گام‌به‌گام برای راستی‌آزمایی حل حاضر استفاده شده است که شامل: (۱) جریان سیال غیرنیوتنی در کانال، (۲) جریان سیال نیوتنی نامحدود از روی سیلندر با سطح مقطع مربعی و (۳) سقوط ذره دایره‌ای در یک محفظه حاوی سیال نیوتنی می‌باشد.

جریان سیال غیرنیوتنی در کانال. به‌منظور صحت‌سنجی بخش غیرنیوتنی حل عددی ارائه‌شده، مسئله جریان سیال غیرنیوتنی در کانال که حل تحلیلی دقیق آن موجود است [30] انتخاب شده است. شکل (۳) پروفیل سرعت سیال در مقطع عرضی کانال را نشان می‌دهد. چنان‌چه در این شکل مشهود است، نتایج حاصل از حل حاضر و حل تحلیلی تطابق بسیار خوبی را نشان می‌دهند.



شکل ۳ پروفیل سرعت مربوط به جریان سیال غیرنیوتنی در کانال

جریان سیال نیوتنی نامحدود از روی سیلندر ثابت با مقطع مربعی. با توجه به اطلاعات موجود درخصوص جریان سیال نیوتنی نامحدود نیوتنی از روی سیلندر ثابت با سطح مقطع مربعی، استفاده از این اطلاعات برای صحت‌سنجی روش حاضر در مواجهه با ذره‌های با سطح مقطع مربعی، در دستور کار قرار گرفته است. جدول (۱) مقادیر ضریب پسا را برای یک ذره

مربع‌شکل در معرض جریان سیال نیوتنی نشان می‌دهد. چنان‌چه از جدول (۱) برمی‌آید نتایج حاضر تطابق قابل قبولی با کارهای گذشته نشان می‌دهد.

جدول ۱ مقایسه مقادیر ضریب پسا در جریان نامحدود از روی سیلندر مربعی

ضریب پسا	روش	نویسنده
۱/۷۶۷	حجم محدود	دیهمان و همکاران [31]
۱/۸۰۸	حجم محدود (فلوئنت)	کاترجی و کاترجی [32]
۱/۷۶۳	IB-NLBM	کار حاضر

سقوط ذره دایره‌ای در محفظه حاوی سیال نیوتنی. مسئله سقوط ذره دایره‌ای در سیال نیوتنی به‌عنوان یک آزمایش مبنا برای بررسی حرکت ذره در سیال توسط بسیاری از محققان مورد استفاده قرار گرفته است. در کار حاضر از این مسئله برای صحت‌سنجی معادلات حرکت استفاده‌شده در روش مورد استفاده این پژوهش بهره برده‌ایم. هندسه محفظه شامل یک محفظه $7\text{cm} \times 2\text{cm}$ است که توسط یک دامنه محاسباتی با 600×200 گره پوشش داده شده است. قطر ذره 0.25cm و چگالی آن $1/25\text{ g/cm}^3$ است. این محفظه با یک سیال با ویسکوزیته 0.1 g/cms و چگالی 1 g/cm^3 پر شده است. ذره ابتدا در مکان $(4\text{cm}$ و $1\text{cm})$ است و از حالت سکون رها می‌شود. ذره در اثر نیروی جاذبه به سمت پایین حرکت می‌کند و شتاب می‌گیرد تا این‌که پس از مدتی به سرعت ثابت حدی می‌رسد. در کار حاضر از 50 نقطه لاگرانژی که به‌صورت یکنواخت بر سطح سیلندر گسترده شده‌اند برای نشان دادن مرز جامد استفاده شده است. زمان آسایش $\tau=0.65$ در نظر گرفته شده است که معادل 5×10^{-5} ثانیه برای هر گام زمانی می‌باشد. شکل (۴) نتایج حاصل از روش حاضر را با نتایج ارائه‌شده توسط وو و شو [7] و ون و تورک [11] مقایسه می‌نماید. این

نتایج و بحث

در این قسمت توانایی روش IB-NLBM با اعمال نیروی مستقیم برای شبیه‌سازی جریان‌های ذره‌ای با سطح مقطع مربعی در سیالات غیرنیوتنی مختلف مورد بحث و بررسی قرار گرفته است. برای این منظور دو هندسه متفاوت شامل جریان غیرنیوتنی از روی سیلندر ثابت و سقوط ذره در کانال حاوی سیالات غیرنیوتنی در نظر گرفته شده است.

جریان سیال غیرنیوتنی نامحدود از روی سیلندر ثابت با مقطع مربعی. مسئله جریان سیال غیرنیوتنی از روی سیلندر ثابت دایروی قبلاً توسط امیری دلویی و همکاران [21] به‌طور کامل مورد بررسی قرار گرفته است. همانند مطالعه امیری دلویی و همکاران [21]، هندسه این مسئله نیز شامل یک دامنه محاسباتی $60L \times 40L$ با 1800×1200 گره محاسباتی برای جریان پایا و یک دامنه محاسباتی $50L \times 40L$ با 2000×1600 گره محاسباتی برای جریان ناپایا است. این دامنه بزرگ به‌خوبی شرط نامحدود بودن جریان را تضمین می‌کند. L معرف طول ضلع مربع است. عدد رینولدز برای سیالات توانی به‌صورت زیر تعریف می‌شود:

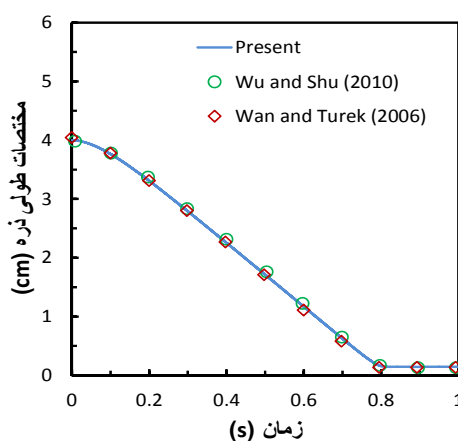
$$Re_{pl} = \frac{U_{\infty}^{(2-n)} L^n}{m} \quad (20)$$

که U_{∞} سرعت جریان آزاد سیال است. هم‌چنین به‌منظور بررسی دقیق‌تر اثر هندسه سطح مقطع و خواص غیرنیوتنی روی دقت حل، خطای عددی روش به‌صورت زیر تعریف شده است:

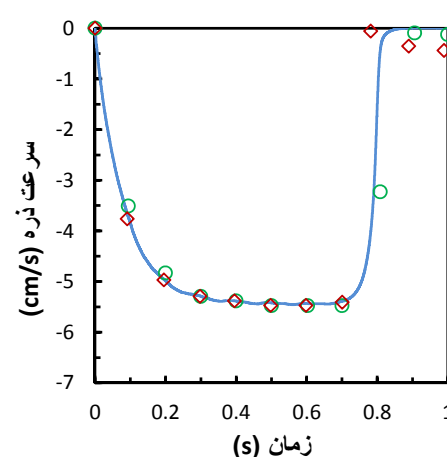
$$H.B.E. = \sqrt{\frac{1}{N_{ij}} \sum_i \sum_j (\bar{u}_b^p(i,j) - \bar{u}_b^e(i,j))^2}, \quad (21)$$

که N_{ij} نشانگر تعداد گره‌های دامنه حل است. U_b^e و

نمودارها برای مختصات طولی و سرعت ذره رسم شده‌اند. با توجه به شکل (۴) کاملاً واضح است که نتایج حاصل از کار حاضر و نتایج وو و شو [7] و ون و تورک [11] در تمامی پارامترهای ذکرشده کاملاً بر یکدیگر منطبق هستند. تفاوت‌های جزئی مشاهده‌شده در زمان‌های پایانی مربوط به مکانیزم‌های مختلف برخورد ذره-دیواره است که در هر یک از مطالعات متفاوت است. در کار حاضر از مدل برخورد ذره-دیواره بر پایه تئوری لنارد-جونز [18] برای شبیه‌سازی برهم‌کنش بین ذره و دیواره استفاده شده است.

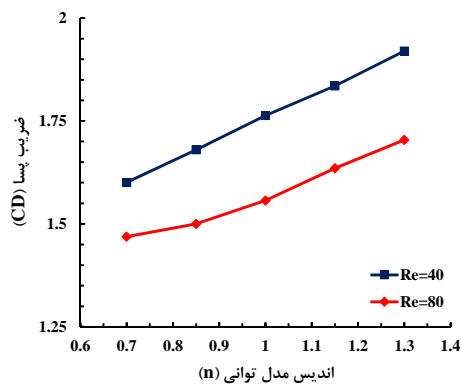


(الف)



(ب)

شکل ۴ تغییرات (الف) مختصات طولی ذره و (ب) سرعت ذره با زمان در حرکت سقوط آزاد در محفظه حاوی سیال نیوتنی



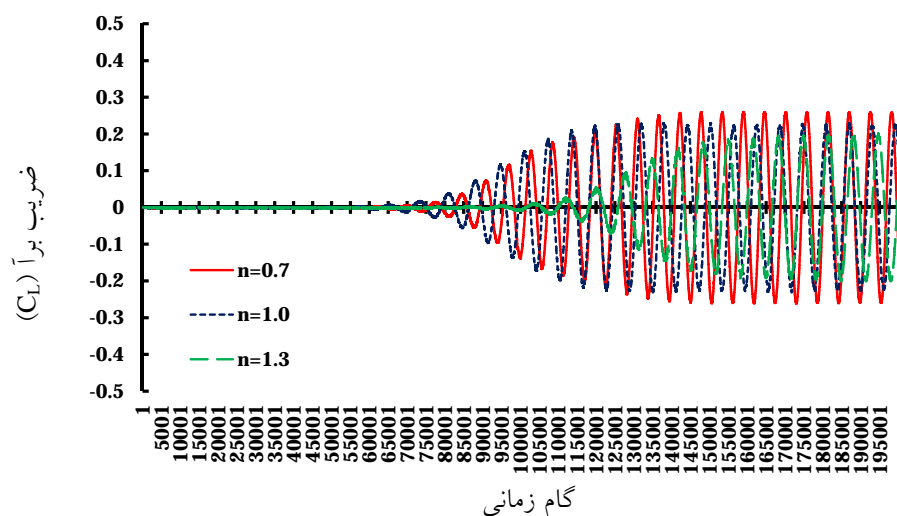
شکل ۵ ضریب پسا برای جریان سیال نیوتنی و غیرنیوتنی و نامحدود از روی سیلندر مربعی در حالت پایا ($Re=40$) و ناپایا ($Re=80$)

جدول ۲ مقادیر خطای عددی برای جریان سیال نیوتنی و غیرنیوتنی نامحدود از روی سیلندر مربعی در حالت پایا ($Re=40$) و ناپایا ($Re=80$)

Re=80	Re=40	شاخص رفتار غیرنیوتنی	نوع سیال
$7/71 \times 10^{-3}$	$7/01 \times 10^{-3}$	0/7	رقیق‌برشی
$7/59 \times 10^{-3}$	$6/83 \times 10^{-3}$	0/85	
$7/48 \times 10^{-3}$	$6/75 \times 10^{-3}$	1/0	نیوتنی
$7/33 \times 10^{-3}$	$6/66 \times 10^{-3}$	1/15	ضخیم‌برشی
$7/16 \times 10^{-3}$	$6/61 \times 10^{-3}$	1/30	

شکل (۶) تغییرات ضریب برآ را نسبت به گام زمانی حل در جریان سیال نامحدود از روی سیلندر مربعی نشان می‌دهد. این شکل برای سه نوع سیال رقیق‌برشی، نیوتنی و ضخیم‌برشی در $Re=80$ رسم گردیده است. همان‌گونه که در این شکل مشخص است، در زمان‌های کم (تقریباً قبل ۱۵۰۰۰۰) ضریب برآ رفتاری غیر متناوب دارد درحالی‌که بعد از گذشت زمان‌های کافی (این زمان بستگی به نوع سیال دارد) به صورت متناوب می‌شود. با توجه به شکل (۶)، با افزایش شاخص رفتار غیرنیوتنی توانی و حرکت به سمت سیالات با خواص غیرنیوتنی ضخیم‌برشی بیشتر، زمان تناوب نیز افزایش می‌یابد.

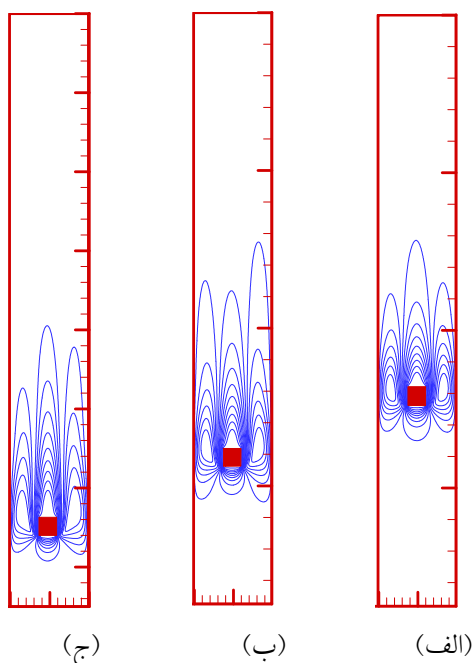
U_b^n به ترتیب مربوط به سرعت دقیق (در حالت سیلندر ثابت این سرعت صفر خواهد بود) و سرعت ناشی از نتایج حل عددی حاضر هستند. شکل (۵) تغییرات ضریب پسا به وجود آمده در حرکت سیالات نیوتنی و غیرنیوتنی از روی مانع مربعی برحسب شاخص رفتار غیرنیوتنی توانی را در جریان‌های پایا ($Re=40$) و ناپایا ($Re=80$) نشان می‌دهد. هم‌چنین جدول (۲) مقادیر خطای عددی را در جریان‌های پایا ($Re=40$) و ناپایا ($Re=80$) برای سیالات مختلف رقیق‌برشی، نیوتنی و ضخیم‌برشی نشان می‌دهد. چنان‌چه از شکل (۵) برمی‌آید ضریب پسا با افزایش شاخص رفتار غیرنیوتنی توانی افزایش می‌یابد. ضریب پسا در جریان سیال حول استوانه از دو بخش ضریب پسا اصطکاکی پوسته‌ای و ضریب پسا فشاری تشکیل می‌شود. ضریب پسا اصطکاکی بیشتر در مورد جریان‌های با عدد رینولدز پایین مؤثر است درحالی‌که برای جریان‌های با عدد رینولدز بالاتر (مانند بحث حاضر)، علاوه بر ضریب پسا اصطکاکی، ضریب پسا فشاری نیز حایز اهمیت است. ضریب پسا فشاری به دلیل پدیده جدایش جریان و ایجاد گردابه در پشت استوانه به وجود می‌آید. گردابه ایجاد شده در پشت استوانه با افزایش شاخص رفتار غیرنیوتنی توانی، افزایش می‌یابد که منجر به افزایش مقادیر ضریب پسا می‌شود. شایان ذکر است که در حالت ناپایا، ضریب پسا متوسط محاسبه شده است. هم‌چنین، با توجه به جدول (۲) مقدار عددی خطای مرزی در سیالات با خواص رقیق‌برشی بیشتر، افزایش می‌یابد و بالعکس با حرکت به سمت خواص نیوتنی و سپس ضخیم‌برشی، کاهش می‌یابد. این امر به دلیل افزایش سرعت جریان با کاهش شاخص رفتار غیرنیوتنی توانی است. افزایش سرعت هم‌چنین باعث افزایش خطای حل در جریان‌های با عدد رینولدز بالاتر خواهد گردید.



شکل ۶ مقادیر ضریب برآ برحسب گام زمانی حل برای سیالات رقیق‌برشی، نیوتنی و ضخیم‌برشی

$$Ar_{pl} = \frac{g L^{2-n}}{2} (\rho_r - 1) m^{2-n} \quad (22)$$

که در آن ρ_r نسبت چگالی ذره به سیال است.



شکل ۷ خطوط جریان حول ذره مربعی در محفظه حاوی سیال:

(الف) ضخیم‌برشی ($n=1/1$)، (ب) نیوتنی ($n=1/0$),

(ج) رقیق‌برشی ($n=0/9$) در زمان $t=5.0s$

سقوط ذره با سطح مقطع مربعی در سیالات

غیرنیوتنی مختلف. هدف از این شبیه‌سازی بررسی

اثرات خواص رقیق‌برشی و ضخیم‌برشی روی حرکت

و سرعت حد یک ذره با سطح مقطع مربعی است.

دامنه محاسباتی شامل یک محفظه با طول بلند

$20\text{ cm} \times 2\text{ cm}$ (برای اطمینان از رسیدن به سرعت حد

خصوصاً برای سیالات رقیق‌برشی) شامل 200×2000

گره محاسباتی است. خواص فیزیکی سیال و ذره

همانند مساله سقوط ذره دایره‌ای در محفظه حاوی

سیال نیوتنی ارائه شده برای صحت‌سنجی می‌باشد.

طول ضلع ذره مربعی برابر با 0.25 cm در نظر گرفته

شده است. در حالت اولیه، سیال و ذره هر دو در

حالت سکون قرار دارند. مانند بسیاری از مطالعات

پیشین انجام‌شده در زمینه بررسی سقوط ذرات

[34,35]، از عدد ارشمیدس برای مقایسه بین

پارامترهای مختلف مربوط به سقوط ذره مربعی در

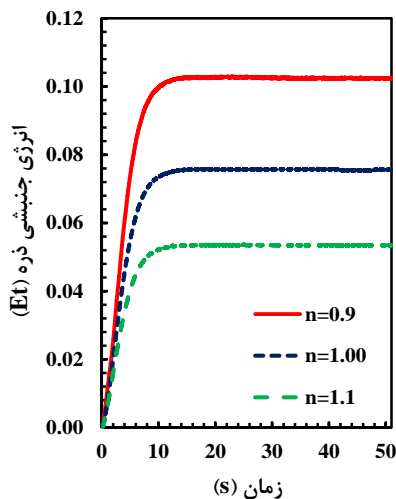
سیالات ساکن با خواص مختلف نیوتنی، رقیق‌برشی و

ضخیم‌برشی استفاده شده است. در کار حاضر از

تعریف زیر برای محاسبه عدد ارشمیدس تعمیم‌یافته

(Ar_{pl}) استفاده شده است:

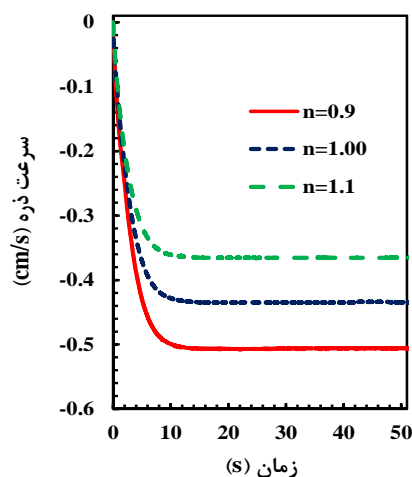
هم‌چنین همان‌گونه که در شکل (۹) نشان داده شده است، با کاهش شاخص رفتار غیرنیوتنی توانی و در نتیجه آن افزایش سرعت طولی متناظر (شکل ۸)، انرژی جنبشی ذره $E_f = 0.5M(u_p^2 + v_p^2)$ نیز افزایش خواهد یافت. که M جرم ذره است و u_p و v_p نمایانگر مؤلفه‌های سرعت ذره می‌باشند.



شکل ۹ انرژی جنبشی ذره برحسب زمان برای سیالات مختلف غیرنیوتنی و نیوتنی ($Ar_{pl}=10^3$)

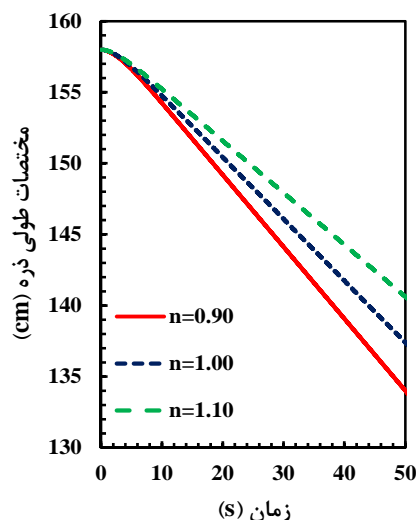
شکل (۱۰) مختصات مکان مرکز ذره را برحسب زمان برای حرکت در سیالات توانی مختلف در ۵۰ ثانیه نخست حرکت نشان می‌دهد. تمامی ذرات از ارتفاع ۱۸ cm بالای کف ظرف تحت نیروی گرانش رها می‌شوند و شتاب می‌گیرند تا این‌که پس از مدتی به سرعت حد خود می‌رسند. همان‌گونه که از شکل (۱۰) برمی‌آید، حتی با وجود اختلاف نسبتاً کم بین شاخص‌های رفتار غیرنیوتنی توانی، اختلاف ارتفاع قابل توجهی بین سیالات مختلف رقیق‌برشی و ضخیم‌برشی وجود دارد. همان‌طور که قبلاً نیز بحث شد، این اختلاف ارتفاع زیاد ناشی از تفاوت چشمگیر مقادیر سرعت سقوط ذره در سیالات غیرنیوتنی مختلف است.

شکل (۷) خطوط جریان را حول ذره با سطح مقطع مربع در سیالات با خواص مختلف ضخیم‌برشی، نیوتنی و رقیق‌برشی در زمان ۵۰ ثانیه پس از شروع حرکت نشان می‌دهد. تمام ذرات تحت عدد ارشمیدس تعمیم‌یافته $Ar_{pl}=10^3$ رها شده‌اند. تفاوت بین ساختارهای جریان و سرعت برای شاخص‌های مختلف مدل توانی به‌خوبی در شکل (۷) مشهود است. با کاهش شاخص رفتار غیرنیوتنی توانی، و یا به بیان دیگر با حرکت از سمت خواص ضخیم‌برشی به نیوتنی و سپس رقیق‌برشی، سرعت ذره افزایش می‌یابد (شکل ۸) و خطوط جریان کشیده‌تر می‌شوند. این تغییرات سرعت ذره به‌راحتی توسط تغییرات نرخ برش در مجاورت ذره قابل تفسیر می‌باشد. به‌عنوان مثال درخصوص سقوط ذره در سیالات ضخیم‌برشی، از آنجایی که بیشترین تغییر شکل سیال در نزدیکی مرز غوطه‌ور صورت می‌گیرد، بالاترین مقدار ویسکوزیته در اطراف ذره وجود دارد. بنابراین یک لایه از سیال با ویسکوزیته بالا اطراف ذره را احاطه خواهد کرد که این امر باعث کندتر شدن حرکت ذره در سیال ضخیم‌برشی (در مقایسه با حالت مشابه سیال نیوتنی) خواهد شد. برای سیالات غیرنیوتنی رقیق‌برشی روند پدیده‌ها کاملاً برعکس است.



شکل ۸ سرعت طولی ذره برحسب زمان برای سیالات مختلف غیرنیوتنی و نیوتنی ($Ar_{pl}=10^3$)

در مجاورت سیالات با خواص غیرنیوتنی رقیق‌برشی و ضخیم‌برشی توسعه داده شده است. روش ترکیبی حاضر تمامی خواص منحصر به فرد مربوط به روش‌های مرز غوطه‌ور (IB) و شبکه بولتزمن (LBM) را دارا می‌باشد. دو ویژگی مهم روش IB-NLBM شامل شبیه‌سازی عددی مستقیم (DNS) و محاسبه محلی ویسکوزیته، آن را به عنوان گزینه‌ای مناسب برای شبیه‌سازی حرکت اجسام در سیالات غیرنیوتنی مطرح می‌کند. برخلاف اکثر کارهای قبلی، اثرات نیروی ناشی از جرم اضافه شده در حرکت شنا‌دار ذره (با چگالی متفاوت با سیال) نیز در معادلات حرکت در نظر گرفته شده است. از طرفی نتایج نشان می‌دهند که روش پیشنهادی نتایج قابل قبولی برای جریان سیال در مجاورت شکل‌های غیردایروی مانند ذره مربعی ارائه می‌دهد. دقت روش IB-NLBM توسط یک فرآیند صحت‌سنجی گام‌به‌گام شامل جریان سیال غیرنیوتنی در کانال، جریان سیال نیوتنی از روی سیلندر مربعی ثابت و سقوط ذره مربعی در سیال نیوتنی بررسی شده است. دو مسئله کاربردی شامل جریان سیال غیرنیوتنی از روی سیلندر مربعی ثابت و حرکت ذره مربعی شکل داخل سیال غیرنیوتنی مورد بحث و بررسی قرار گرفته‌اند. نتایج نشان می‌دهند که با کاهش شاخص رفتار غیرنیوتنی دقت حل مسئله عددی کاهش می‌یابد. هم‌چنین نتایج تأثیر بسیار زیاد خواص غیرنیوتنی رقیق‌برشی و یا ضخیم‌برشی بر نیروهای وارد بر سیلندر ثابت و سرعت حرکت ذره متحرک را گزارش می‌دهد. در مورد جریان سیال غیرنیوتنی از روی سیلندر مربعی ثابت، ضریب پسا با افزایش شاخص رفتار غیرنیوتنی توانی هم برای جریان‌های پایا و هم ناپایا افزایش می‌یابد. هم‌چنین زمان تناوب ضریب برآ برای جریان‌های ناپایا از روی سیلندر ثابت، با افزایش شاخص رفتار غیرنیوتنی توانی افزایش خواهد یافت. در خصوص سقوط اجسام مربعی درون سیالات غیرنیوتنی ساکن، سرعت حد ذره با افزایش خواص



شکل ۱۰ مختصات طولی ذره برحسب زمان برای سیالات مختلف غیرنیوتنی و نیوتنی ($Ar_{pl}=1.0^3$).

جدول ۳ مقادیر سرعت حد ذره مربعی نسبت به شاخص رفتار

غیرنیوتنی توانی در $Ar_{pl}=1.0^3$

نوع سیال	شاخص رفتار غیرنیوتنی توانی	سرعت ذره (cm/s)
رقیق‌برشی	۰/۷	۰/۵۸۹
	۰/۸	۰/۵۶۲
	۰/۹	۰/۵۰۶
نیوتنی	۱/۰	۰/۴۳۴
ضخیم‌برشی	۱/۱	۰/۳۶۵
	۱/۲	۰/۳۰۳
	۱/۳	۰/۲۴۸

جدول (۳) تغییرات سرعت حد ذره را برحسب شاخص رفتار غیرنیوتنی توانی نشان می‌دهد. چنان‌که بررسی‌های بالا نیز نشان داد سرعت حد ذره با کاهش شاخص رفتار غیرنیوتنی توانی افزایش می‌یابد.

نتیجه‌گیری

روش مرز غوطه‌ور - شبکه بولتزمن غیرنیوتنی (IB-NLBM) برای شبیه‌سازی نیروهای بین سیال و جامد برای ذره ثابت و متحرک با سطح مقطع مربعی

رقیق‌برشی سیال به‌شدت افزایش می‌یابد. در پایان
خاطر نشان می‌شود که بررسی و فهم دقیق مکانیک
سیالات مربوط به بسیاری از جریان‌های ذره‌ای موجود
در کاربردهای صنعتی و بیولوژیکی نیازمند اطلاعات
کافی در خصوص برهم‌کنش بین سیال و جامد
غیردایروی در جریان‌های غیرنیوتنی است. روش
IB-NLBM و نتایج حاصل از آن می‌تواند به‌عنوان
ابزاری مناسب در این راستا مورد استفاده قرار گیرد.

مراجع

1. Feng, Z.G. and Michaelides, E.E., "The immersed boundary-lattice Boltzmann method for solving fluid-particles interaction problems", *Journal of Computational Physics*, Vol. 195, pp. 602-628, (2004).
2. Leal, L.G., "The Motion of Small Particles in Non-Newtonian Fluids", *Journal of Non-Newtonian Fluid Mechanics*, Vol. 5, pp. 33-78, (1979).
3. Feng, Z.G. and Michaelides, E.E., "Proteus: a direct forcing method in the simulations of particulate flows", *Journal of Computational Physics*, Vol. 202, pp. 20-51, (2005).
4. Feng, J., Hu, H.H. and Joseph, D.D., "Direct simulation of initial value problems for the motion of solid bodies in a Newtonian fluid. Part 1: sedimentation", *J. Fluid Mech.*, Vol. 261, pp. 95-134, (1994).
5. Yu, Z., Phan-Thien, N., Fan, Y. and Tanner, R.I., "Viscoelastic mobility problem of a system of particles", *J. Non-Newtonian Fluid Mech.*, Vol. 104, pp. 87-124, (2002).
6. Hu, H.H., Joseph, D.D. and Crochet, M.J., "Direct simulation of fluid particle motions", *Theor. Comp. Fluid Dyn.*, Vol. 3, pp. 285-306, (1992).
7. Wu, J. and Shu, C., "Particulate Flow Simulation via a Boundary Condition-Enforced Immersed Boundary-Lattice Boltzmann Scheme", *Commun. Comput. Phys.*, Vol. 7, No. 4, pp. 793-812, (2010).
8. Hu, H.H., "Direct Simulation of Flows of Solid-Liquid Mixtures", *Int. J. Multiphase Flow*, Vol. 22, No. 2, pp. 335-352, (1996).
9. Patankar, N.A., Singh, P., Josepha, D.D., Glowinski, R. and Panc, T.-W., "A New Formulation of the Distributed Lagrange Multiplier/Fictitious Domain Method for Particulate Flows", *Int. J. Multiphase Flow*, Vol. 26, pp. 1509-1524, (2000).
10. Glowinski, R., Pan T.W., Hesla, T.I., Joseph, D.D. and Periaux, J., "A Fictitious Domain Approach to the Direct Numerical Simulation of Incompressible Viscous Flow past Moving Rigid Bodies: Application to Particulate Flow", *Journal of Computational Physics*, Vol. 169, pp. 363-426, (2001).
11. Wan, D. and Turek, S., "Direct Numerical Simulation of Particulate Flow via Multigrid FEM Techniques and the Fictitious Boundary Method", *Int. J. Numer. Meth. Fluids*, Vol. 51, pp. 531-566, (2006).
12. Peskin, C.S., "Flow patterns around heart valves: a digital computer method for solving the equations of motion", PhD thesis, Physiol, Albert Einstein Coll. Med., Univ. Mi- crofilms, (1972).
13. Succi, S., "The Lattice Boltzmann Equation for Fluid Dynamics and Beyond", Oxford Univ.Press, New York, (2001).
14. Artoli, A.M. and Sequeira, A., "Mesoscopic simulations of unsteady shear-thinning flows", in: *Lecture Notes in Comput. Sci. Springer*, Berlin. Vol. 3992, pp. 78-85, (2006).
15. Gabbanelli, S., Drazer, G. and Koplik, J., "Lattice Boltzmann method for non-Newtonian (Power-Law) fluids", *Phys. Rev. E.*, Vol. 72, pp. 046312, (2005).
16. Aharonov, E. and Rothman, D.H., "Non-Newtonian flow (through porous-media): a lattice Boltzmann method", *Geophys. Res. Lett.*, Vol. 20, pp. 679-682, (1993).

17. Ladd, A.J.C., "Numerical simulations of particulate suspensions via a discretized Boltzmann equation. I. Theoretical foundation", *J. Fluid Mech.*, Vol. 271, pp. 285-310, (1994).
18. Niu, X.D., Shu, C., Chew, Y.T. and Peng, Y., "A momentum exchange-based immersed boundary-lattice Boltzmann method for simulating incompressible viscous flows", *Physics Letters A*, Vol. 354, pp. 173-182, (2006).
19. Mohd-Yusof, J., "Combined immersed boundaries/B-splines methods for simulations of flows in complex geometries", Annual Research Briefs, Center for Turbulence Research, Stanford University, (1997).
20. Kang, S.K. and Hassan, Y.A., "A comparative study of direct-forcing immersed boundary-lattice Boltzmann methods for stationary complex boundaries", *Int. J. Numer. Meth. Fluids*, Vol. 66, pp. 1132-1158, (2011).
21. Amiri Delouei, A., Nazari, M., Kayhani, M.H. and Succi, S., "Non-Newtonian unconfined flow and heat transfer over a heated cylinder using the direct-forcing immersed boundary-thermal lattice Boltzmann method", *Physical Review E*, Vol. 89, pp. 053312-1 - 053312-13, (2014).
22. Kang, S.K., "Immersed Boundary Methods in The Lattice Boltzmann Equation for Flow Simulation", Ph.D. thesis, Texas A&M University, (2010).
23. Leal, L.G., "The Motion of Small Particles in Non-Newtonian Fluids", *Journal of Non-Newtonian Fluid Mechanics*, Vol. 5, pp. 33-78, (1979).
24. Huang, P.Y., Hu, H.H. and Joseph, D.D., "Direct simulation of the sedimentation of elliptic particles in Oldroyd-B fluids", *J. Fluid Mech.*, Vol. 362, pp. 297-325, (1998).
25. Guo, Z., Zheng, C. and Shi, B., "Discrete lattice effects on the forcing term in the lattice Boltzmann method", *Physical Review E*; Vol. 65, pp. 046308, (2002).
26. Qian, Y.H., d'Humieres, D. and Lallemand, P., "Lattice BGK model for Navier-Stokes equation", *Europhys. Lett.*, Vol. 17, pp. 479-484, (1992).
27. Scott Blair, G.W., Hening, J.C. and Wagstaff, A., "The flow of cream through narrow glass tubes", *Phys. Chem.*, Vol. 43, No. 7, pp. 853-864, (1939).
28. Chopard, B. and Droz, M., "*Cellular Automata Modeling of Physical Systems*", Cambridge University Press, Cambridge, UK, (1998).
29. Peskin, C.S., "The immersed boundary method", *Acta Numerica*, pp. 479-517, (2002).
30. Wang, C-H. and Ho, J.R., "A lattice Boltzmann approach for the non-Newtonian effect in the blood flow", *Computers and Mathematics with Applications*, Vol. 62, pp. 75-86, (2011).
31. Dhiman, A.K., Chhabra, R.P. and Eswaran V., "Steady Flow of Power-Law Fluids Across a Square Cylinder", *Chemical Engineering Research and Design*, Vol. 84, pp. 300-310, (2006).
32. Chatterjee, D. and Chatterjee, K., "Unconfined Flow and Heat Transfer around a Square Cylinder at Low Reynolds and Hartmann Numbers", *International Journal of Fluid Mechanics Research*, Vol. 40, pp. 71-90, (2013).
33. Wu, J., Shu, C. and Zhao, N., "Simulation of Thermal Flow Problems via a Hybrid Immersed Boundary-Lattice Boltzmann Method", *J. Appl. Math.*, Vol. 2012, pp. 161484-1 161484-11, (2012).
34. Best, A.C., "Empirical formulae for the terminal velocity of water drops falling through the atmosphere", *Quart. J. Roy. Meteor. Soc.*, Vol. 76, pp. 302-311, (1950).
35. Chhabra, R.P., "*Bubbles, Drops and Particles in Non-Newtonian Fluids*", Second ed., FL: CRC Press, Boca Raton, (2006).